

交通状況と走行モード予測のための停止領域の設定について

大阪市立大学工学部 正員 西村 昂
大阪市立大学工学部 正員 日野 泰雄
大阪市立大学大学院 学生員 ○伊藤 智仁

1.はじめに 交通流による環境への影響を考える場合には、その走行状況を知る必要がある事は、言うまでもない。そのため、これまでに様々な交通状況についての走行状態のモデル化を試みてきた。そのモデル化に当っては、停止・走行等の領域を停止波、発進波という車群の伝達波の考え方により設定する方法を用いており、これに基いてある程度実用的な精度で走行モードが予測されている。また、停止波は、交通量によってその形状が変化するものに対し、発進波には大きな変化がみられない事が、観測されている。
そこで、本研究では、交通状況と停止波、発進波との関連を中心に分析することによって走行モード予測モデルの基本となる領域の設定方法について検討することにした。

2.従来の研究成果と課題 これまでの走行

モード予測方法に関する研究過程で得られている領域の設定について、主な成果を以下に整理する。

①流出交通量と平均速度による交通流の分類…調査データに、基く分類の一例を表-1に示す。

②停止領域の設定方法…定常流時には、信号停止率により求められる停止車を、渋滞時には原則として全車を対象にその停止台数と車列長との関係から停止波、発進波を描き、それぞれの領域を設定する。(図-1参照)

③到着車群と停止波の関係…定常流時には、車群が明確に区別されるため、図-1に示すような車群を考慮した考え方が必要である。

④交通流による停止波、発進波の形状…交通流と各々の波の形状を表-2に示す。また、これらの成果のうち③、④について、種々の交通流に応じたより実用的なモデルを作成すると共に、特に渋滞時における路線や対象区間全体での領域設定の方法を検討する事が、精度向上のために残された主な課題となっている。

3.基礎データとその分析 本研究では、表-3に示す調査により得られたデータを用いて前節に示した課題を中心に分析した。尚、各調査での主な観測内容は、次の通りである。

①信号サイクル、オセレット、②走行特性(流出交通量、空間平均走行速度、車頭間隔)、③各車群別停止台数と車列長、④停止波、発進波に関する項目。以上のデータによる分析結果を次にまとめて示す。

(1) Q-V特性(調査Ⅰ-Ⅲ-1.2)…調査データをまとめてQ-V図に示すと、図-2のようになる。

尚、図中の区分は、前述(表-1)の交通流分類によるものである。

(2)車列長(同Ⅰ-Ⅲ-1)…停止台数と車列長についての分析結果を表-4に示す。これから、大型車混入率、交通量ランクにより一定の傾向を示していることがわかる。

表-1 交通流の分類

交通流の分類	走行特性要因	走行パターン	
		(代表的モード構成)	
渋滞(Ⅰ)	80×10 ³ 台未満	1.4未満	J/0(走行-一時停止(2モード))
領域(Ⅱ)	80×10 ³ 以上70×10 ³ 台未満	1.4以上2.8未満	加速-減速-停止(3モード)
中間(Ⅲ)	70×10 ³ 以上	2.8以上4.2未満	ノルム
領域(Ⅳ)	105×10 ³ 台未満	4.2以上7.0未満	加速-定速-減速-停止(4モード)
自由走行領域	70×10 ³ 台未満	7.0以上	ノルム

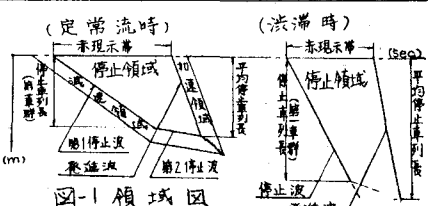


表-2 渋滞波・停止波

	渋滞時	定常流時
回帰式	Y=2.7X-0.99 (r=0.95)	Y=0.99X+1.47 (r=0.93)
移動波	5.27	5.09
回帰式	Y=4.14X+7.48 (r=0.81)	Y=1.48X-3.05 (r=0.74)
停止波	4.14	1.48

表-3 調査概要

	調査地点	道路条件	実施日時
調査Ⅰ	国道25号、箕面交差点付近、車線幅員3.6m、片側2車線	SG3.7~12	
調査Ⅱ	大阪内環状線、箕面交差点付近、車線幅員3.0m、片側2車線	SG5.10.	
調査Ⅲ	四ツ橋筋、片側2車線	SG7.10.	
	梅浦～信濃橋(600m)	5～6車線	SG8.11

Takashi NISHIMURA Yasuo HINO Tomohito ITOH

(3) 停止波、発進波(同I, II, III, 2)…流出交通量と各々の波の傾きの関係を図-3に示す。これによると、停止波については、明確な関係がみられるものの、発進波については、従来同様ほとんど変化は見られない。但しこれ迄に得られている結果と比べ多少、小さい値になっているが、これは従来の値が交通流ランクを十分反映していない事と調査区間が短い事によるものと考えられる。

(4) 渋滞時走行特性(同III, 2)…渋滞時の走行軌跡の一例を図-4に示すが、これより、信号交差点以外のいわゆる走行領域においても停止、発進をくりかえしていることがわかる。また、これら全てをモデル化することは、効率の点からも好ましいとは言えない。

そこで、これについては渋滞の程度によって平均的に停止率を設定することを考えた。図-5に、これと流出交通量との関係を示す。相関はあまり高いとは言えないものの、明らかに渋滞の程度によって、変化していることがわかる。但し、ここで、ばらつきの大きい原因としては、対象とする走行領域の区間長が考慮されていないことなどが考えられる。

4.まとめと今後の課題 本研究では、従来の成果の検討を中心に、停止領域の設定に必要な項目についての分析を行なった。以下に、その主要内容をまとめて示す。

① 停止波の傾きは、流出交通量によって変化し、その関係は、 $\{ \text{傾き} = 9.15 - 1.65 \ln Q \}$ で表められる。一方、発進波については、多少同様の傾向は、みられるものの、むしろ、ある一定値をとるとして方がよいようである。

② 渋滞時には、走行領域中においても停止、発進がくり返されているが、これは、平均的な停止の割合として処理することにより、モデルの一部に考慮することが可能になった。ここでは、これ(I_C)を、流出交通量(Q)によって、 $I_C = 65.2 e^{-0.018Q}$ と表わしている。

③ 路線あるいは、対象区間全体についても、図-4に示すように、信号オセレット等を考慮に入れると、各領域図を設定できることがわかった。一方、これらの結果に対して、データの不足等から十分に説明されなかつた点を示すと、i) 発進波についての詳細な検討 ii) とりわけ中間領域に対する実測データによる検証 iii) 渋滞時の停止波生成に対する車群の影響についての検討、iv) I_C の精度向上、などがある。

(参考文献) 日野・西村「渋滞時、走行モード予測方法に関する一考察」、第5回工木計画学会研究発表会講演集、pp.163-166、1983.1.

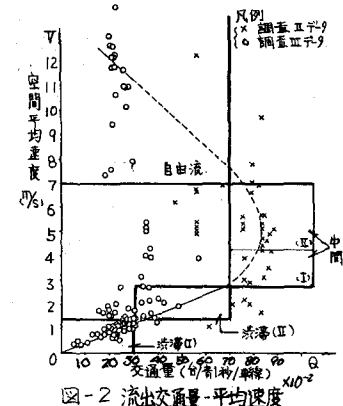


図-2 流出交通量-平均速度

表-4 停止台数と車列長の分析結果

項目	カテゴリー	最大密度(台/100m)	平均車頭距離(m)	停止台数(個)と関係(r)
大	○	17.2	6.0	$I = 4.38 + 5.48n$ (0.95)
型別	○-1.0	17.3	5.9	$I = 4.22 + 5.64n$ (0.96)
重入率	1.0-2.0	16.1	6.4	$I = 4.57 + 5.81n$ (0.95)
率	2.0-3.0	15.3	6.8	$I = 3.11 + 6.23n$ (0.97)
(1)	3.0-	13.9	7.4	$I = 2.45 + 6.96n$ (0.97)
交	自由流	(14.9)	(6.7)	$I = 2.64 + 6.88n$ (0.97)
通の	○ 中間 (1)	16.4	6.3	$I = 2.40 + 6.84n$ (0.98)
深分	○ 流域 (2)	16.5	6.2	$I = 6.94 + 5.20n$ (0.87)
類	○ 流域 (1)	16.1	6.3	$I = 8.75 + 5.18n$ (0.93)
	○ 流域 (2)	16.6	6.1	$I = 1.70 + 5.87n$ (0.97)

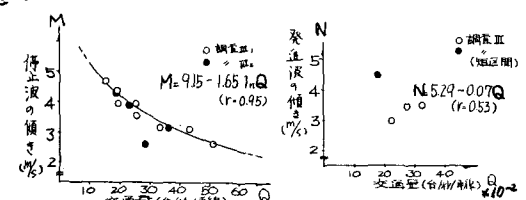


図-3 停止波及び発進波

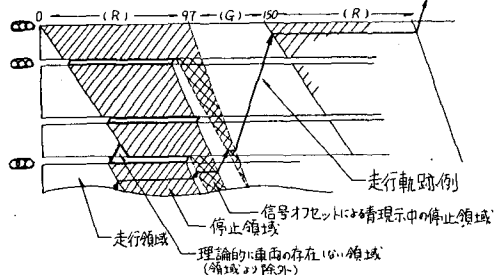


図-4 各領域と走行軌跡の一例

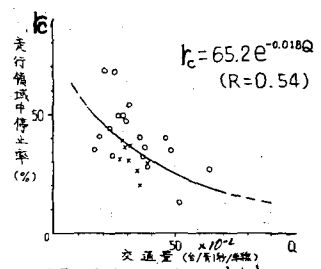


図-5 走行領域中の停止率